



## بررسی تاثیر هم زمان ارتعاشات آلتراسونیک ابزار و افزودن نانوذرات $\text{SiO}_2$ به دی الکتریک، بر روی مشخصه‌های ماشین‌کاری آلیاژ تیتانیوم Ti-6Al-4V در فرآیند EDM

بهنام خسروزاده<sup>\*</sup>، محمد رضا شبگرد<sup>†</sup>

۱- دانشجوی دکتری، دانشکده مهندسی مکانیک، دانشگاه تبریز، تبریز

۲- دانشیار، دانشکده مهندسی مکانیک، دانشگاه تبریز، تبریز

\*تبریز، صندوق پستی ۵۱۶۶۱۶۴۷۱؛ behnam\_kh@tabrizu.ac.ir

### چکیده

در این مطالعه تاثیر هم زمان افزودن نانوذرات  $\text{SiO}_2$  به دی الکتریک پایه نفتی و اعمال ارتعاشات آلتراسونیکی به ابزار در فرآیند ماشین‌کاری تخلیه الکتریکی آلیاژ تیتانیوم Ti-6Al-4V بررسی شده است. تحلیل‌ها در حالات ماشین‌کاری تخلیه الکتریکی سنتی، ماشین‌کاری تخلیه الکتریکی با افزودن نانوذرات پودری به دی الکتریک، ماشین‌کاری تخلیه الکتریکی با اعمال ارتعاشات آلتراسونیکی به ابزار و همچنین ماشین‌کاری تخلیه الکتریکی با افزودن نانوذرات پودری به دی الکتریک به همراه ارتعاشات آلتراسونیکی به ابزار بهینه‌ترین شرایط برای نزخ برآمدگرایی ایجاد می‌گردد. تاثیر نانوذرات افزوده شده به دی الکتریک با افزودن نانوذرات پودری به دی الکتریک به همراه ارتعاشات آلتراسونیکی به ابزار بهینه‌ترین شرایط برای نزخ برآمدگرایی ایجاد می‌گردد. تاثیر نانوذرات افزوده شده به دی الکتریک باعث بهبود کیفیت سطح شده، و ارتعاشات آلتراسونیکی به ابزار باعث افزایش زبری سطح می‌گردد.

**کلیدوازگان:** ماشین‌کاری تخلیه الکتریکی، تیتانیوم، ارتعاشات آلتراسونیکی، نانوپودر

## Investigating the effect of simultaneous ultrasonic vibration of tool and addition of $\text{SiO}_2$ nanoparticles into the dielectric on machining characteristics of titanium alloy Ti-6Al-4V in EDM process

Behnam Khosrozadeh\*, Mohammadreza Shabgard

Department of Mechanical Engineering, Tabriz University, Tabriz, Iran  
\* P.O.B. 516616471, Tabriz, Iran, behnam\_kh@tabrizu.ac.ir

### ABSTRACT

In this study, the effect of simultaneous addition of  $\text{SiO}_2$  nanoparticles into oil based dielectric and applying ultrasonic vibrations on tool is investigated in the electrical discharge machining process of titanium alloy Ti-6Al-4V. The analysis was conducted in 4 different machining conditions: the traditional Electrical Discharge Machining, Electrical Discharge Machining by adding nanoparticles powder to the dielectric, Electrical Discharge Machining by applying ultrasonic vibrations to the tool and also by adding nanoparticles powder to the dielectric with ultrasonic vibrations applied to the tool. The results show that electrical discharge machining by adding nanoparticles powder into dielectric together with ultrasonic vibrations of tool caused the most efficient condition for material removal rate. Effect of added nanoparticles to dielectric and applying vibrations to the tool on the tool wear ratio depends on machining conditions (pulse current and pulse duration). Added nanoparticles into dielectric improve surface quality and ultrasonic vibrations of tool increase surface roughness.

**Keywords:** Electrical Discharge Machining, Nano Powder, Titanium, Ultrasonic Vibration.

اکثر ابزارهای برشی وجود دارد، می‌باشد [۱]. بنابراین روش‌های ماشین‌کاری سنتی کارایی مناسبی برای ماشین‌کاری این آلیاژ ندارد؛ از روش‌های ماشین‌کاری غیرسنتی مانند ماشین‌کاری آلتراسونیکی، ماشین‌کاری با اشعه الکترونی، ماشین‌کاری با پلاسمای، لیزر و ماشین‌کاری تخلیه الکتریکی می‌باشد [۲]. روش ماشین‌کاری تخلیه الکتریکی برتری‌های زیادی نسبت به سایر روش‌های ماشین‌کاری غیرسنتی دارد [۳]. هر چند راندمان این روش ماشین‌کاری پایین و کیفیت سطح حاصله نامناسب به عنوان معایب اصلی این روش، استفاده از آن را با محدودیت‌هایی مواجه کرده است [۴]. یکی از روش‌های مورد استفاده برای افزایش راندمان فرآیند EDM سنتی اعمال

**- ۱- مقدمه**  
آلیاژهای تیتانیوم به دلیل دارا بودن خواص بر جسته‌ای مانند نسبت استحکام به وزن بالا مقاومت بالا در مقابل خزش و خستگی، مقاومت مناسب خوردگی و زیست سازگاری، مورد توجه صنایع مختلف هستند. بنابراین استفاده از آلیاژهای تیتانیوم بویه Ti-6Al-4V در صنایعی مانند هوافضا، خودرو، زیست پزشکی، سازه‌های دریایی، صنایع شیمیابی، تولید انرژی و صنایع نفت و گاز و سایر صنایع مهم روند روبه رشدی دارد [۵]. با این حال تیتانیوم و آلیاژهای آن تحت عنوان موادی که قابلیت ماشین‌کاری پایینی دارند شناخته می‌شوند؛ که این به دلیل مستعد بودن آن به کارسختی در حین ماشین‌کاری، رسانایی حرارتی پایین و واکنش پذیری شیمیابی با چسب‌های کجالتی که در

برای ارجاع به این مقاله از عبارت ذیل استفاده نمایید:

1. Electrical Discharge Machining

Please cite this article using:

B. Khosrozadeh, M.R. Shabgard, Investigating the effect of simultaneous ultrasonic vibration of tool and addition of  $\text{SiO}_2$  nanoparticles into the dielectric on machining characteristics of titanium alloy Ti-6Al-4V in EDM process, *Modares Mechanical Engineering, Proceedings of the Advanced Machining and Machine Tools Conference*, Vol. 15, No. 13, pp. 311-317, 2015 (in Persian) (فارسی)

ژیخین و همکارانش<sup>۷</sup> فرآیندهای ماشین کاری تخلیه الکتریکی و آلتراسونیکی را با هم ادغام کرده و گزارش کرده اند که در این حالت کاراری ماشین کاری سه برابر ماشین کاری آلتراسونیک شده، سلامت سطح تعییر چندانی نداشته است [۱۵].

لین و همکارانش<sup>۸</sup> آلیاز Ti-6Al-4V را با ترکیب فرآیندهای EDM و USM ماشین کاری کرده است. نرخ براده برداری با ترکیب این فرآیندها بیشتر از نرخ براده برداری EDM شده و بازده ماشین کاری افزایش پیدا کرده است. با توجه به افزایش اندازه حفره های ناشی از ماشین کاری، زبری سطح حاصل نسبت به زبری سطح هر کدام از روش های ماشین کاری بیشتر شده است [۱۶].

کریمر و همکارانش<sup>۹</sup> تأثیر ارتعاشات آلتراسونیک را در فرآیند EDM بررسی کرده اند و متوجه شدند که اعمال ارتعاشات به الکترو موج گردش بهتر سیال دی الکتریک شده و براده های ماشین کاری را از محل گپ ماشین کاری دور می کنند و با مکش دی الکتریک تازه به گپ، تخلیه های موثر تری انجام شده و نرخ براده برداری افزایش می یابد. ثانیاً حرکات آلتراسونیکی ابزار مانند پمپ عمل کرده و با توربولانس و کاویتاسیون ایجاد شده مداد مذاب بیشتری از چاله های مذاب به بیرون پرت می شود، بنابراین مجدداً نرخ براده برداری بیشتر شده و ضخامت لایه منجمد شده در سطح نازکتر می شود، از مقدار میکروترکها کاسته شده و عمر خستگی بیشتر می گردد [۱۷].

چایا و همکارانش<sup>۱۰</sup> فرآیند ماشین کاری تخلیه الکتریکی به کمک ارتعاشات آلتراسونیکی<sup>۱۱</sup> (USEDMD) را بر روی ماده  $Si_3N_4$  انجام داده اند و نتایج را با فرآیند EDM سنتی مقایسه کرده اند. در فرآیند USEDMD نرخ براده برداری تقریباً دو برابر فرآیند EDM سنتی بوده و زبری سطح افزایش یافته است. در شرایط پرداخت کاری با افزودن ذرات ساینده به دی الکتریک در فرآیند USEDMD صافی سطح خیلی بهتر شده و چاله های ناشی از ماشین کاری عم حذف شدند [۱۸].

عبدالله و همکارانش تأثیر ارتعاشات آلتراسونیک ابزار را بر روی نرخ براده برداری قطعه کار از جنس کاربید تنگستن را مطالعه کرده اند و گزارش داده اند که فشار و مکش حاصل از ارتعاشات در گپ بین ابزار و قطعه کار موجب جریان بهتر دی الکتریک شده و جرقه هایی از نوع آرک را کاهش می دهد [۱۹].

قریشی و همکارانش تأثیر ارتعاشات ابزار در فرکانس بالا و پایین را بر روی نرخ براده برداری فرآیند ماشین کاری تخلیه الکتریکی بررسی کرده اند. طبق نتایج کار آن ها بیشترین تأثیر ارتعاشات در شرایط پرداخت کاری اتفاق می افتد و مشکلاتی مانند پالس های آرک، اتصال کوتاه، مدار باز و ناپایداری فرآیند به حدائق می رسد. نرخ براده برداری در شرایط پرداخت کاری تا ۱۱ برابر، و در شرایط خشن کاری تا ۱/۸ برابر افزایش افزایش یافته است [۲۰].

با توجه به پیشینه تحقیقات انجام شده تأثیر اعمال ارتعاشات آلتراسونیکی، افزایش بازدهی و بالا بردن نرخ براده برداری می باشد؛ با افزودن پودر به دی الکتریک می توان سلامت سطح ماشین کاری شده را بهبود داد. با توجه با این که تأثیر همزمان هر دو فاکتور مذکور بر ماشین کاری مواد، علی شخصوص موادی که قابلیت ماشین کاری پایینی دارند مورد بررسی قرار نگرفته است؛ در این پژوهش تأثیر توم افزودن پودر در دی الکتریک و اعمال

ارتعاشات آلتراسونیکی به الکترودها است؛ در این فرآیند ترکیبی بازدهی ماشین کاری با مکانیزم هایی مانند بهبود شستشوی گپ تخلیه الکتریکی و افزایش افت فشار بین الکترودها افزایش می یابد [۷]. از جمله تکنیک های جدید که به منظور افزایش کارایی و بیوژه بهبود کیفیت سطح ماشین کاری شده استفاده می گردد افزودن پودر به سیال دی الکتریک در فرآیند EDM می باشد. تاثیر عمدۀ اعمال پودرهای کاهش استحکام شکست دی الکتریک (برای پودرهای رسانا) و افزایش کارایی فرآیند، کاهش زمان انجام و بهبود کیفیت سطح می باشد [۴].

یاشار و اکمکچی<sup>۱</sup> تأثیر افزودن ذرات پودری کاربید سیلیسیم را در سطح حاصله از فرآیند EDM آلیاز Ti-6Al-4V مطالعه کرده اند. آن ها گزارش داده اند که با افزودن پودر به دی الکتریک و انتقال پودرها به سطح ماشین کاری شده در اثر تخلیه های ثانویه، امکان آلیاز سازی سطحی وجود دارد [۸]. هو و همکارانش<sup>۳</sup> خواص سطحی آلیاز-W Ta با دمای ذوب بالا در فرآیند ماشین کاری تخلیه الکتریکی با ذرات پودری آلمنیوم<sup>۴</sup> (PMEDM) بررسی کرده اند. نتایج نشان می دهد که در فرآیند PMEDM نسبت به فرآیند EDM صافی سطح افزایش یافته، مقاومت سایشی سطح بهبود یافته و سختی سطح بیشتر شده است [۹].

پراجاپاتی و پاتل<sup>۵</sup> ماشین کاری تخلیه الکتریکی فولاد 8 EN را به کمک پودر  $SiO_2$  در دی الکتریک انجام داده اند و نشان داده اند که استفاده از این ذرات در صافی سطح حاصله از ماشین کاری مواد سخت تأثیر بسزایی داشته و همچنین بهینه ترین شرایط ماشین کاری اعم از جریان و زمان روشی پالس را در فرآیند PMEDM به دست آورده اند [۱۰].

جهان و رحمان میکرو ماشین کاری تخلیه الکتریکی WC-Co را با افزودن نانو پودر گرافیت در دی الکتریک انجام داده اند. براساس نتایج تجربی صافی سطح و نرخ براده برداری افزایش یافته و سایش نسبی ابزار کاهش یافته است. به علت یکنواختی تخلیه ها نوپوگرافی سطح و توزیع چاله های سطح، بهتر شده است؛ همچنین در فرآیند PMEDM نسبت به فرآیند EDM سطح دارای عیوب کمتری می باشد [۱۱].

سبک تکین و همکارانش آلیاز Ti-6Al-4V با فرآیند EDM به همراه پودر SiC در دی الکتریک ماشین کاری کرده اند؛ و به این نتیجه رسیده اند که افزودن این پودر انرژی تخلیه ها و زبری سطح را کاهش داده، با افزایش نرخ براده برداری و کاهش سایش نسبی ابزار راندمان ماشین کاری افزایش داده است [۱۲].

جووانی<sup>۶</sup> با بررسی تأثیر پودر میکروونی گرافیت در ماشین کاری تخلیه الکتریکی گزارش کرده است که با اضافه کردن ۴ گرم بر لیتر پودر گرافیت در دی الکتریک (میانگین اندازه ذرات ۱۰ میکرومتر)، پایداری ماشین کاری با افزایش ۶۰٪ نرخ براده برداری و کاهش ۲۸٪ سایش ابزار، افزایش یافته است [۱۳].

اکمکچی و ارسوز<sup>۷</sup> در خصوص نحوه تأثیر ذرات پودری در مورفوژویی سطوح حاصله از فرآیند EDM به این نتیجه رسیده اند که: انرژی و سرعت ذرات معلق در دی الکتریک در اطراف ستون پلاسمای دارند از نیریوی الکتروفورز و فشار منفی بعد از اتمام تخلیه الکتریکی، به اندازه ای افزایش پیدا می کند که به داخل سطح ماشین کاری شده نفوذ می کنند و از عمق نفوذ ترک های ناشی از ماشین کاری کاهش می دهد [۱۴].

7. Zhixin et al.

8. Lin et al.

9. Kremer et al.

10. Chaiya et al.

11. Ultrasonic Assisted Electrical Discharge Machining

1. Yasar and Ekmekci

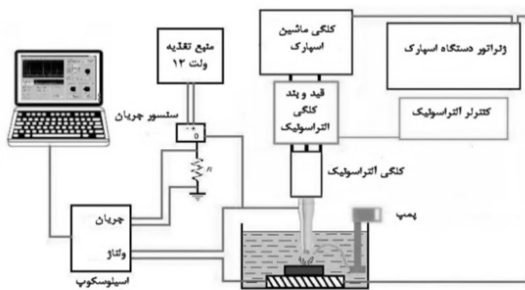
2. Hu et al.

3. Powder Mixed Electrical Discharge Machining

4. Prajapati and Patel

5. Jeswani

6. Ekmekci and Ersoz



شکل ۱ تجهیزات و تنظیمات مربوط به انجام آزمایش ها



شکل ۲ نحوه انجام آزمایش ها با استفاده از مخزن و پمپ های مجرزا

جدول ۳ متغیرهای ورودی و پارامترهای تنظیمی دستگاه اسپارک

متغیر	سطح آزمایش
زمان روشنی پالس (μs)	۴۰۰، ۱۰۰، ۲۵، ۶/۴
شدت جریان (A)	۴۸، ۲۴، ۱۲، ۵
دامتنه ارتعاش (μm)	۱۵
زمان خاموشی پالس (μs)	۶/۴
ولتاژ مدار باز (v)	۲۰۰
فاصله گپ (μm)	۵۰
نوع دی الکتریک	Oil Flux ELF

فرسایش نسبی ابزار<sup>۴</sup> TWR% شاخصی است که درصد حجم جدا شده از ابزار را نسبت به حجم جدا شده از قطعه کار را در هر آزمایش نشان می دهد، با توزیں جرم ابزار قبل و بعد از هر آزمایش میزان فرسایش حجمی ابزار بر حسب میلی متر مکعب مشخص شده و از تقسیم این مقدار بر حجم مواد برداشته شده از قطعه کار، میزان فرسایش نسبی ابزار از روی رابطه<sup>(۲)</sup> به دست می آید. در این رابطه TRR<sup>۵</sup> نرخ سایش حجمی ابزار و MRR نرخ براده برداری از قطعه کار است.

$$TWR\% = \frac{TRR}{MRR} \times 100 \quad (2)$$

برای اندازه گیری صافی سطح نمونه های ماشین کاری شده از دستگاه اندازه گیری صافی سطح استفاده شد؛ عدد اندازه گیری شده میانگین ۳ داده اندازه گرفته شده از سطح نمونه ها بود که در راستاهای مختلف از سطح اندازه گیری شده بود.

### ۳- نتایج و بحث

۱-۳- بررسی تاثیر حالت های مختلف فرآیند ماشین کاری تخلیه الکتریکی بر روی نرخ براده برداری شکل های ۳ و ۴ تاثیر افزودن نانو پودر SiO<sub>2</sub> و اعمال ارتعاشات آلتراسونیک

4. Tool Wear Ratio  
5. Tool Removal Rate

ارتعاش آلتراسونیک به ابزار در ماشین کاری آلیاژ Ti-6Al-4V بررسی شده است، تا بهترین شرایط ماشین کاری با بیشترین بازدهی و بهترین کیفیت سطح، تعیین گردد.

### ۲- مواد و روش ها

به منظور انجام آزمایش های ماشین کاری از آلیاژ تیتانیوم Ti-6Al-4V استفاده شد. نمونه ها به ارتفاع ۱۰ mm از میلگرد های تیتانیوم به قطر ۲۰ mm به وسیله دستگاه برش سیمی<sup>۱</sup> بریده شدند. در آخرین مرحله آماده سازی سطح قطعات سنگزنانی شدند. ابزار استفاده شده از جنس فلز مس بود که از میلگردهای مسی به قطر ۱۰ mm با عملیات تراش کاری تهیه شدند. برای اتصال ابزار مسی به کلگی مخصوص آلتراسونیک برای انجام آزمایش های USEDLM، عملیات رزو کاری روی آن ها انجام گردید. ترکیب درصد عناصر آلیاژی قطعه کار و مشخصات فیزیکی و مکانیکی قطعه کار و ابزار به ترتیب در جداول ۱ و ۲ ارائه شده است.

جهت انجام آزمایش های ماشین کاری تخلیه الکتریکی از دستگاه اسپارک (CHARMILLES ROBOFORM 200) با مولد ایزوپالس استفاده شد. برای اعمال ارتعاشات آلتراسونیک به ابزار از کله گی آلتراسونیک با توان 200W و فرکانس ارتعاش 20 kHz استفاده گردید. به منظور کنترل فرآیند و مقایسه شکل پالس ها با و بدون ارتعاشات آلتراسونیک قطعه کار مدار الکترونیکی به کار گرفته شد تا ولتاژ گپ و تغییرات جریان در مقابل زمان، در یک رایانه ضبط و ذخیره گردد. تصاویر شماتیک و واقعی از انجام تست ها در شکل ۱ و ۲ نشان داده شده است.

آزمایش های ماشین کاری طبق اصول طراحی آزمایشات و براساس مدل فول فاکتوریل<sup>۲</sup>، ۴ سطح جریان پالس، ۴ سطح زمان روشنی پالس، ۲ سطح سیال دی الکتریک (با و بدون پودر) و ۲ سطح برای ابزار (با و بدون اعمال ارتعاشات آلتراسونیک) انجام شدند. سایر متغیرهای ورودی و پارامترهای تنظیمی آزمایش ها و دستگاه اسپارک در جدول ۳ آورده شده است.

وزن قطعات قبل و بعد از هر آزمایش توسط ترازوی دیجیتالی<sup>(۳)</sup> (با دقت ۰/۰۰۰۱g) اندازه گیری شده و با استفاده از رابطه (۱) نرخ براده برداری محاسبه گردید.

$$MRR = \frac{M_1 - M_2}{\rho t} \times 10^6 \quad (1)$$

در این رابطه MRR مقدار نرخ براده برداری (mm<sup>3</sup>/min)، M<sub>1</sub> (mm<sup>3</sup>) جرم قطعه کار قبل از ماشین کاری (g)، M<sub>2</sub> (g) جرم قطعه بعد از ماشین کاری (g)، t (min) مدت زمان ماشین کاری (min) و ρ چگالی قطعه کار (gr/cm<sup>3</sup>) است.

جدول ۱ ترکیب درصد عناصر تشکیل دهنده آلیاژ Ti-6Al-4V

Ti	Al	V	Fe	O	C	N	H
۸۹/۴۶۴	۶/۰۸	۴/۰۲	۰/۲۲	۰/۱۸	۰/۰۲	۰/۰۱	۰/۰۰۵۳

جدول ۲ خواص فیزیکی و مکانیکی قطعه کار و ابزار

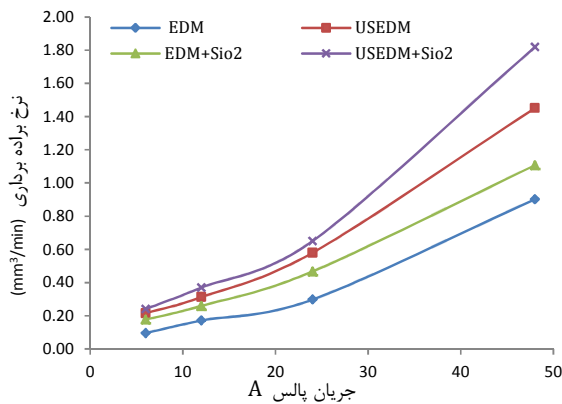
Cu	Ti-6Al-4V	خواص مکانیکی
W/MK ۴۰۱	W/MK ۶/۷	هدایت حرارتی
۱۱۰ GPa	۱۱۳ GPa	مدول الاستیک
۱۰۸۴°C	۱۶۶۰°C	نقطه ذوب
۱۶/۷۸ μΩ.cm	۱۷۸ μΩ.cm	مقاومت الکتریکی
g/cm <sup>3</sup> ۸/۹	g/cm <sup>3</sup> ۴/۴۳	چگالی

1. Wire Cut  
2. Full Factorial  
3. Material Removal Rate

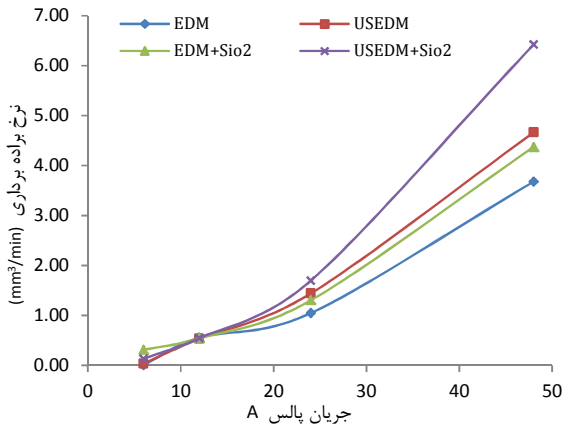
یونیزاسیون کanal پلاسمای سریع تر رخ می دهد. همچنین در هنگام استفاده از نانو پودر در دی الکتریک، یون ها و الکترون ها که به سمت الکتروودها (قطعه کار و ابزار) حرکت می کنند، با وجود ارتعاشات شتاب بیشتری گرفته و با ذرات معلق نانو پودر برخورد می کنند؛ این ذرات با جذب انرژی، یون ها و الکترون های زیادی را تولید می کنند. این اتفاق موجب افزایش تعداد جرقه ها در واحد زمان (فرکانس جرقه ها) می شود [۲۳، ۲۲].

با افزایش جریان ماشین کاری از ۱۲ به ۴۸ آمپر تأثیر افزودن نانوپودر و اعمال ارتعاشات آلتراسونیک بر روی نرخ براده برداری بیشتر می گردد، این به علت افزایش انرژی ستون پلاسما و یونیزه شدن دی الکتریک در فاصله گپ بیشتر است که موجب ادامه بیشتر جرقه های مفید شده و ماشین کاری به علت پالس های مزاحم ناشی از آلدگی گپ در زمان های روشی طولانی تر دچار وقفه نمی گردد. با ادامه ماشین کاری پایدار تأثیر نانوپودرها و ارتعاشات بیشتر می گردد؛ البته این موضوع به وضوح در شکل های ۵ و ۶ قابل مشاهده است که با افزایش جریان پالس تأثیر پودرها و ارتعاشات و همچنین اثر توأم آنها افزایش یافته است.

بیشترین تأثیر افزودن نانوپودر و اعمال ارتعاشات آلتراسونیک بر روی نرخ براده برداری در زمان روشی پالس ۱۰۰ μs می باشد (شکل ۴) که این تأثیر در شکل ۶ نیز آورده شده است؛ در این شرایط (جریان ۴۸ آمپر و زمان روشی پالس ۱۰۰ μs) بین انرژی پایین پالس در زمان های روشی کوتاه و آلدگی



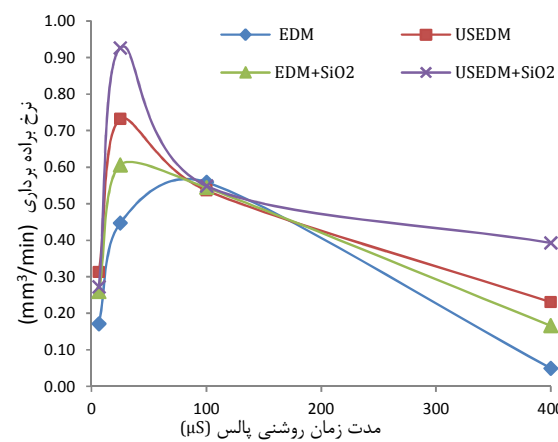
شکل ۵ تأثیر حالت های مختلف فرآیند ماشین کاری تخلیه الکتریکی بر روی نرخ براده برداری در شدت جریان های متفاوت (زمان روشی پالس ۱۰۰ میکروثانیه)



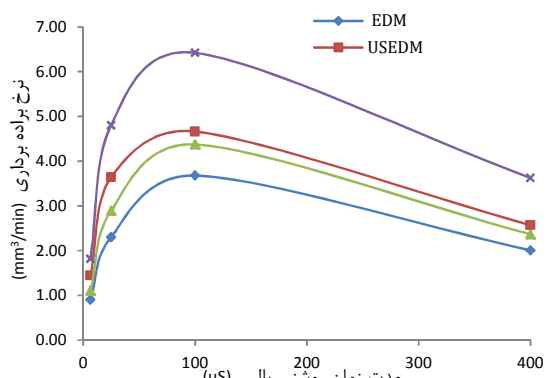
شکل ۶ تأثیر حالت های مختلف فرآیند ماشین کاری تخلیه الکتریکی بر روی نرخ براده برداری در شدت جریان های متفاوت (زمان روشی پالس ۱۰۰ میکروثانیه)

ابزار، بر روی نرخ براده برداری در مقابل زمان روشی پالس متفاوت در جریان های ۱۲ و ۴۸ آمپر را به ترتیب نشان می دهند. همان طوری که ملاحظه می گردد در هر دو شکل با افزایش زمان روشی پالس ابتدا نرخ براده برداری افزایش یافته و سپس کاهش می یابد. افزایش نرخ براده برداری به دلیل افزایش انرژی جرقه ها در اثر افزایش زمان روشی پالس می باشد ولی کاهش آن در زمان های روشی پالس طولانی تر، به علت تجمع محصولات ماشین کاری در گپ بوده که باعث ایجاد پالس های آرک و اتصال کوتاه شده و نرخ براده برداری را کاهش می دهد.

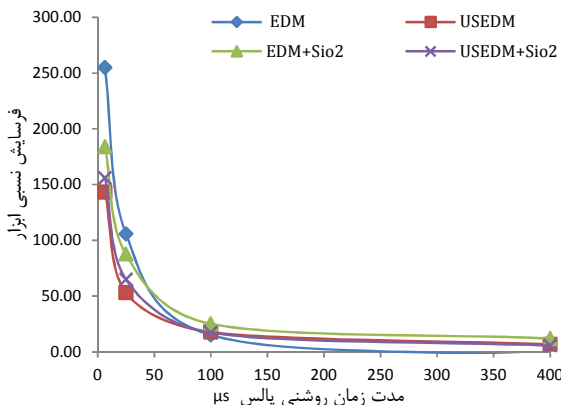
در هر دو شکل افزودن نانوپودر و اعمال ارتعاشات آلتراسونیک نرخ براده برداری را افزایش می دهد. وجود ذرات نانو از طریق کاهش استحکام شکست دی الکتریک و کاهش زمان تاخیر جرقه باعث افزایش MRR می شود و ارتعاشات آلتراسونیک با مکانیسم هایی مانند شستشوی بهتر گپ، زدودن آلدگی ها، کمک به پدیده جوشش حجمی و افزایش افت فشار گپ، MRR را بیشتر می کند [۲۱]. با افزودن پودر و اعمال هم زمان ارتعاشات آلتراسونیک، مخصوصاً در شدت جریان ۴۸ آمپر نرخ براده برداری بیشتر از حالاتی است که این شرایط به تنها بی اعمال می گردند. به عبارت دیگر وجود همزمان پودر و ارتعاشات آلتراسونیک اثر یکدیگر را تقویت می کنند. که این موضوع می تواند به دلیل پخش شدن بهتر ذرات نانو در اثر وجود ارتعاش و افزایش انرژی آنها در اثر وجود امواج آکوستیکی در داخل سیال باشد که در هر دو حالت



شکل ۳ تأثیر حالت های مختلف فرآیند ماشین کاری تخلیه الکتریکی بر روی نرخ براده برداری در زمان های روشی پالس مختلف (شدت جریان ۱۲ آمپر)



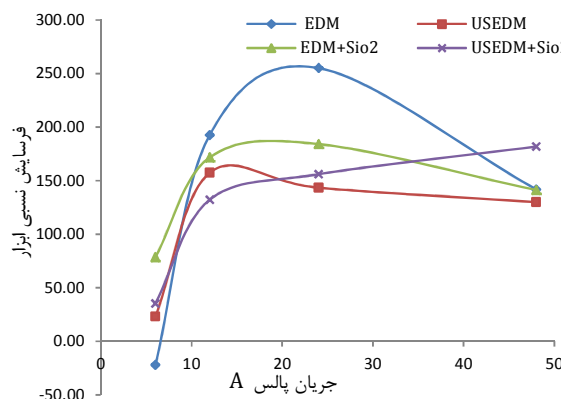
شکل ۴ تأثیر حالت های مختلف فرآیند ماشین کاری تخلیه الکتریکی بر روی نرخ براده برداری در زمان های روشی پالس مختلف (شدت جریان ۴۸ آمپر)



شکل ۸ تأثیر حالت های مختلف فرآیند ماشین کاری تخلیه الکتریکی بر روی فرسایش نسبی ابزار در زمان های روشنی پالس مختلف (شدت جریان ۲۴ آمپر)

تصاویر ۹ و ۱۰ سایش نسبی ابزار را در مقابل شدت جریان پالس در حالات مختلف ماشین کاری نشان می‌دهد. در شکل ۹ که در مدت زمان روشنی پالس ۶,۴ میکروثانیه انجام شده است، بیشترین نرخ سایش ابزار در فرآیند EDM معمولی دارد؛ دلیل این امر انرژی بایین پالس ها و تأخیر در زمان شروع جرقه ها است که منجر به نرخ براده برداری بسیار پایین شده و طبق رابطه (۲) سایش نسبی ابزار افزایش می‌باشد. ولی در سایر فرآیندها با افزایش کارایی فرآیند به دلیل وجود نانوذرات و یا ارتعاشات ابزار با مکانیسم هایی که قبلاً توضیح داده شده است نرخ براده برداری بیشتر و در نتیجه سایش نسبی ابزار کمتر شده است.

در شکل ۱۰ تأثیر فرآیندهای مختلف ماشین کاری تخلیه الکتریکی بر سایش نسبی ابزار در مدت زمان روشنی پالس ۴۰۰ میکروثانیه ارائه شده است. کمترین سایش نسبی ابزار در این تصویر مربوط به فرآیند EDM است. کمترین سایش نسبی ابزار در این تصویر مربوط به فرآیند EDM معمولی است؛ حتی در برخی از شدت جریان های پالس این کمیت صفر یا مقداری منفی می باشد؛ که به علت ابانت محصولات ماشین کاری در گپ و ناپایداری فرآیند است که پالس های ناسالم بیشتر شده و با افزایش مدت زمان روشنی پالس تجزیه کریں و سایر ذرات موجود در گپ بیشتر شده این موضوع باعث نشست کریں حاصل از دی الکتریک پایه نفتی در الکترود مسی شده و بر جرم آن می افزاید [۲۵].



شکل ۹ تأثیر حالت های مختلف فرآیند ماشین کاری تخلیه الکتریکی بر روی فرسایش نسبی ابزار در شدت جریان های مختلف (زمان روشنی پالس ۶,۴ میکروثانیه)

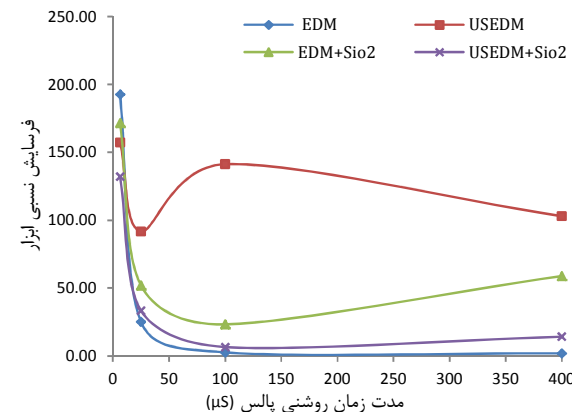
ناشی از زمان های روشنی پالس طولانی تعادلی ایجاد می گردد و شرایط بهینه برای اعمال ارتعاشات و افزودن نانو پودر ایجاد می گردد، تا بیشترین نرخ براده برداری اتفاق بیفتد.

داده های مربوط به نمودارهای شکل ۶ در شدت جریان ۶ آمپر با روند حاکم بر سایر نقاط متفاوت است که علت این موضوع ناپایداری شرایط ماشین کاری در انرژی پایین پالس ها می باشد.

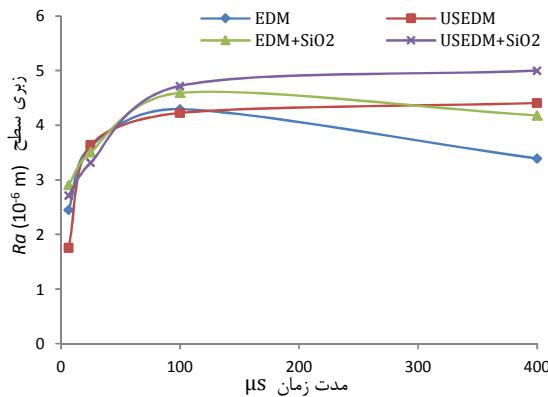
### ۳-۱-۳- بررسی تأثیر حالت های مختلف فرآیند ماشین کاری تخلیه الکتریکی بر روی سایش نسبی ابزار

سایش نسبی ابزار در مقابل مدت زمان روشنی پالس در فرآیندهای متفاوت ماشین کاری تخلیه الکتریکی در تصاویر ۷ و ۸ ارائه شده است. در شکل ۷ بیشترین سایش نسبی ابزار در فرآیند EDM و کمترین مقدار در فرآیند EDM مشاهده می گردد. در فرآیند EDM در شدت جریان ۱۲ آمپر با افزایش زمان روشنی پالس با تجمع محصولات ماشین کاری در فاصله بین الکترودها، فرآیند ناپایدار می شود که با اعمال ارتعاشات در این شرایط فاصله گپ بیشتر شده و فرآیند پایدار شده و بر تعداد جرقه های سالم افزوده می شود از این رو سایش نسبی ابزار هم بیشتر می گردد. افزایش سایش نسبی ابزار در فرآیندهای EDM و USED M به همراه ذرات افزوده شده در دی الکتریک ناشی از افزایش پایداری فرآیند است که در نتیجه کاهش استحکام شکست دی الکتریک و افزایش فاصله گپ به علت حضور نانوپودرها رخ می دهد؛ و با افزایش پالس های سالم سایش ابزار هم بیشتر می گردد.

در شکل ۸ سایش نسبی ابزار در شدت جریان ۲۴ آمپر نشان داده شده است کاهش TWR در زمان های روشنی پالس زیاد به این دلیل است که پدیده غالب مکانیسم جدایش مواد در این شرایط طبق نظریه یوبانک<sup>۱</sup>، هجوم یون ها است که در زمان های روشنی پالس بیشتر یون ها به سمت کاتد (قطعه کار) رفته و باعث افزایش MRR و کاهش TWR می گردد[۲۴]. با افزایش شدت جریان سایش نسبی ابزار در فرآیندهای مختلف ماشین کاری تخلیه الکتریکی، بویژه در مدت زمان های روشنی پالس طولانی تقواحت چندانی با هم ندارند. این موضوع به دلیل افزایش فاصله گپ در اثر افزایش جریان پالس است؛ در نتیجه در پالس هایی با مدت زمان زیاد آلوگری ها پایداری فرآیند را کاهش نداده و با افزایش نرخ براده برداری، سایش نسبی ابزار طبق رابطه (۲) کاهش می پاید.



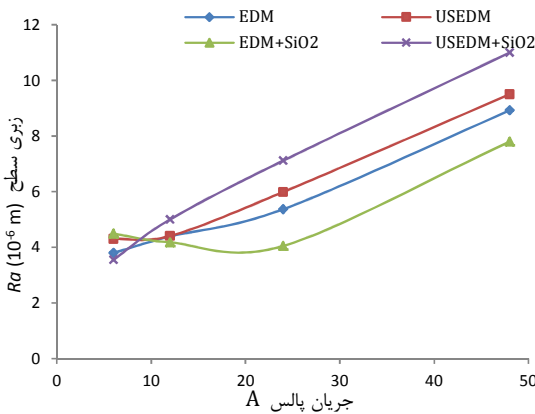
شکل ۷ تأثیر حالت های مختلف فرآیند ماشین کاری تخلیه الکتریکی بر روی فرسایش نسبی ابزار در زمان های روشنی پالس مختلف (شدت جریان ۱۲ آمپر)



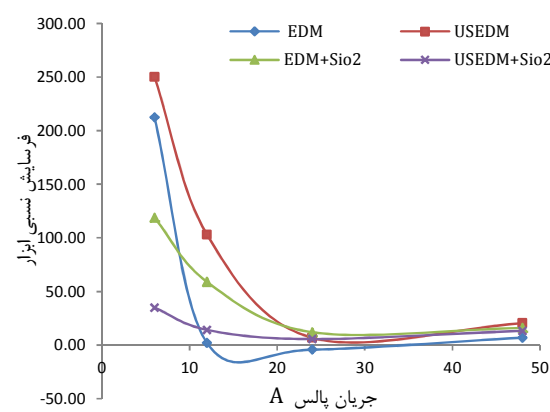
شکل ۱۱ تأثیر حالت های مختلف فرآیند ماشین کاری تخلیه الکتریکی بر روی زبری سطح در شدت جریان های متفاوت (شدت جریان ۱۲ آمپر)

کمترین زبری سطح در بین فرآیندهای مختلف در شکل ۱۱ مربوط به فرآیند EDM به همراه ذرات SiO<sub>2</sub> افزوده شده به دی الکتریک است، بهبود صافی سطح از مهمترین خصوصیات افزودن پودر به سیال دی الکتریک است؛ وجود ذرات بین گپ ماشین کاری باعث بازتر شدن و عرضی تر شدن فاصله گپ است و همراه با این موضوع فرکانس جرقه ها هم بیشتر می گردد، که در این حالت انرژی جرقه ها و شدت میدان الکتریکی توزیع یکنواخت تر خواهد داشت. با این شرایط جرقه های با انرژی های زیاد کاهش یافته و با کاهش طرفیت الکترواستاتیکی و با افزایش فاصله گپ جریان های خیلی کم با هر پتانسیلی منجر به ایجاد جرقه شده و حفره هایی کوچک تر و کم عمق تر ایجاد می شود. نتیجه این که با افزایش نرخ ماشین کاری سطوح صاف تری ایجاد می گردد [۲۷].

رونده مشاهده شده در شکل ۱۱ با شکل ۱۲ متفاوت است، در شکل ۱۱ کمترین زبری سطح برای فرآیند EDM معمولی است، این موضوع به خاطر انرژی پایین جرقه ها در شدت جریان ۱۲ آمپر است که باعث شده فرکانس جرقه های سالم کمتر شده و با کمتر شدن جدایش ماده از سطح قطعه کار منجر به صافی سطح بهتری می گردد. بازترین تأثیر ذرات اضافه شده به دی الکتریک را می توان بالابردن صافی سطح هم زمان با افزایش نرخ براده برداری است در حالی که اکثر روش هایی که برای بالابردن نرخ براده برداری در فرآیند استفاده می گردد منجر به ایجاد سطوحی با زبری سطح بالا می گردد.



شکل ۱۲ تأثیر حالت های مختلف فرآیند ماشین کاری تخلیه الکتریکی بر روی زبری سطح در شدت جریان های متفاوت (زمان روشی پالس ۴۰۰ میکروثانیه)



شکل ۱۰ تأثیر حالت های مختلف فرآیند ماشین کاری تخلیه الکتریکی بر روی فرایش نسبی ابزار در شدت جریان های متفاوت (زمان روشی پالس ۴۰۰ میکروثانیه)

بیشتر شدن سایش نسبی ابزار در سایر فرآیندها در شکل ۱۰ مربوط به تاثیری است که هر کدام از آن ها بر روی افزایش MRR داشته و در نتیجه طبق رابطه (۲) باعث کاهش TWR می گردد.

### ۳-۲- بررسی تأثیر حالت های مختلف فرآیند ماشین کاری تخلیه الکتریکی بر روی صافی سطح

شکل های ۱۱ و ۱۲ نتایج مربوط به زبری سطح را نشان می دهد. همان طوری که از هر دو شکل ملاحظه می گردد اعمال ارتعاشات آلتراسونیک به ابزار باعث افزایش زبری سطح شده است، از جمله دلایل آن را می توان در موارد زیر خلاصه کرد:

در حین اعمال ارتعاشات آلتراسونیک، به واسطه شستشوی بهتر گپ و افزایش انرژی ذرات پلاسمما، انرژی هر جرقه بیشتر می گردد و در نتیجه حجم مذاب به ازای هر پالس جرقه بیشتر شده و در اثر جوشش حجمی مقدار بیشتری از مذاب به بیرون چاله پرتاپ می گردد این امر باعث می گردد عمق چاله ها بعد از انجماد بیشتر شده و در نتیجه زبری سطح قطعات ماشین کاری شده در EDM نسبت به USEDPM بیشتر می گردد [۲۶]، و این برای فرآیندهایی که در آن ها ذرات نانو پودر در دی الکتریک وجود دارد صادق بوده و حتی مقدار تأثیر ارتعاشات با وجود این ذرات بیشتر هم می گردد؛ چرا که با اعمال ارتعاشات آلتراسونیک ذرات موجود در دی الکتریک سرعت و شتاب بیشتری گرفته و به سمت قطعه کار پرتاپ شده و تکانه ناشی از این حرکات ماده مذاب بیشتری از چاله مذاب به بیرون می آندازد و بر عمق آن ها افزوده و زبری را بیشتر می کند [۲۳].

با توجه به سرعت و شتاب حرکت ابزار در اثر ارتعاش آلتراسونیک بسیار زیاد است، این حرکات به عنوان یک پمپ عمل کرده و سبب افزایش حرکت سیال در گپ می شود، و در کوتاه ترین زمان دی الکتریک تازه جایگزین دی الکتریک آلووده در گپ می گردد این عوامل سبب می شوند شرایط لازم برای تولید جرقه های آرک و اتصال کوتاه در گپ ماشین کاری از بین می رود، و بر تعداد پالس های نرمال افزوده می شود، بنابراین پالس های سالم و با انرژی بالا منجر به ایجاد چاله های عمیق در سطح شده و زبری آن را بیشتر می کند.

در هر دو فرآیند USEDPM (با پودر و بدون پودر) ابزار با فرکانس معادل ۲۰ kHz نوسان می کند در این فرآیندها در هر سیکل که ابزار به سمت بالا می رود، موجب می شود نرخ افت فشار در مقایسه با EDM بدون ارتعاشات بیشتر شود و مقدار مذاب بیشتری به بیرون از چاله پرتاپ گردد در نتیجه باعث افزایش عمق چاله ها و در نتیجه افزایش صافی سطح گردد [۲۶].

- [17] D. Kremer, J.L. Lebrun, B. Hosari, A. Moisan, Effects of Ultrasonic Vibrations on the Performances in EDM, *Annals of the CIRP*, Vol. 38, No. 1, pp. 199-202, 1989.
- [18] C. Praneetpong, Y. Fukuzawa, S. Nagasawa, K. Yamashita, Effects of the EDM Combined Ultrasonic Vibration on the Machining Properties of  $\text{Si}_3\text{N}_4$ , *Materials Transactions*, Vol. 51, No. 11, pp. 2113-2120, 2010.
- [19] A. Abdullah, M.R. Shabgard, Effect of ultrasonic vibration of tool on electrical discharge machining of cemented tungsten carbide (WC-Co), *International Journal of Advanced Manufacturing Technology*, Vol. 38, pp. 1137-1147, 2008.
- [20] M. Ghereishi, J. Atkinson, A comparative experimental study of machining characteristics in vibratory, rotary and vibro-rotary electro-discharge machining, *Journal of material processing technology*, Vol. 120, pp. 374-384, 2002.
- [21] M.R. SHABGARD, H. KAKOLVAND, M.S. SEYEDZAVVAR, R.M. SHOTORBANI, Ultrasonic assisted EDM: Effect of the workpiece vibration in the machining characteristics of FW4 Welded Metal, *Frontiers of Mechanical Engineering*, Vol. 6, No. 4, pp. 419-428, 2011.
- [22] G.S. Prihandana, M. Mahardika, M.Hamdi, Y.S. Wong, K. Mitsui, Effect of micro-powdersuspensionandultrasonicingredientofdielectricfluid in micro-EDMprocesses-Taguchiapproach, *International Journal of Machine Tools & Manufacture*, Vol. 49, pp. 1035-1041, 2009.
- [23] G.S. Prihandana, M. Mahardika, M.Hamdi, Y.S. Wong, K. Mitsui, Accuracy improvement in nanographite powder-suspended dielectric fluid for micro-electrical discharge machining processes, *International Journal of Advanced Manufacturing Technology*, Vol. 56, pp. 143-149, 2011.
- [24] D.D. Dibitonto, P.T. Eubank, M.R. Patel, M.A. Barrufet, Theoretical models of the electrical discharge machining process. I. A simple cathode erosion model, *Journal of Applied Physics*, Vol. 66, pp. 4095-4103, 1989.
- [25] J. Marafona, Black layer characterisation and electrode wear ratio in electrical discharge machining (EDM), *Journal of material processing technology*, Vol. 184, pp. 27-31, 2007.
- [26] M. Shabgard, B. Khosrozadeh, B. Sadizadeh, H. Kakoulvand, Comparative Study of the effect of ultrasonic vibration of workpiece in the electrical discharge machining (EDM), *Modares Mechanical Engineering*, Vol. 13, No. 12, pp. 48-55, 2013. (In Persian)
- [27] H. Kumar, Development of mirror like surface characteristics using nanopowder mixed electric discharge machining (NPMEDM), *International Journal of Advanced Manufacturing Technology*, Vol. 76, No. 1-4, pp. 105-113, 2015.

#### ۴- نتیجه گیری

- افزودن نانوذرات و اعمال ارتعاشات آلتراسونیکی ابزار در فرآیند ماشین- کاری تخلیه الکتریکی باعث، افزایش نرخ برادهبرداری می‌گردد، بیشترین نرخ برادهبرداری در شرایط ماشین کاری جریان ۴۸ آمپر و زمان روشنی پالس  $100 \mu\text{s}$  اتفاق می‌افتد.
- افزودن همزمان پودر و اعمال ارتعاشات آلتراسونیک اثر یکدیگر را تقویت کرده، در این شرایط افزایش نرخ برادهبرداری بیشتر از مجموع شرایطی است، که هر دو پارامتر بصورت جداگانه باعث افزایش آن می‌گردد.
- تأثیر اعمال ارتعاشات آلتراسونیک ابزار و افزودن نانوذرات  $\text{SiO}_2$  به دی الکتریک بر روی سایش نسبی ابزار و همچنین اثرات ناشی از اعمال همزمان آنها بر TWR بستگی به شرایط ماشین کاری (شدت جریان تخلیه و زمان روشنی پالس) دارد.
- ارتعاش ابزار با فرکانس بالا در ماشین کاری تخلیه الکتریکی باعث افزایش زبری سطح می‌گردد، همچنین اعمال ارتعاشات به ابزار و افزودن نانوپودر به دی الکتریک موجب افزایش بیشتر زبری سطح می‌گردد.
- بازرتین تأثیر ذرات اضافه شده به دی الکتریک بالابدن صافی سطح همزمان با افزایش نرخ برادهبرداری است.

#### ۵- مراجع

- [1] L. Gu, L. Li, W. Zhao, K.P. Rajurkar, Electrical discharge machining of Ti6Al4V with a bundled electrode, *International Journal of Machine Tools & Manufacture*, Vol. 53, pp. 100-106, 2012.
- [2] G. Kibia, B.R. Sarkar, B.B. Pradhan, Comparative study of different dielectrics for micro-EDM performance during micro hole machining of Ti-6Al-4V alloy, *International Journal of Advanced Manufacturing Technology*, Vol. 48, pp. 557-570, 2010.
- [3] M. Rahman, Y.S. Wong, A.R. Zareena, Machinability of titanium alloys, *JSME International Journal, Series C*, Vol. 46, No. 1, pp. 107-115, 2010.
- [4] A.V.S Ram Prasad, K. Ramji, G.L. Datta, An Experimental Study of Wire EDM on Ti-6Al-4V Alloy, *Procedia Materials Science*, Vol. 5, pp. 2567-2576, 2014.
- [5] A. Hascalik, U. Caydas, Electrical discharge machining of titanium alloy (Ti-6Al-4V), *Applied Surface Science*, Vol. 253, pp. 9007-9016, 2007.
- [6] H.K. Kansal, S. Singh, P. Kumara, Parametric optimization of powder mixed electrical discharge machining by response surface methodology, *Journal of Materials Processing Technology*, Vol. 169, pp. 427-436, 2005.
- [7] Z.N. Guo, T.C. Lee, T.M. Yue, W. S. Lau, A Study of Ultrasonic-aided Wire Electrical Discharge Machining, *Journal of Materials Processing Technology*, Vol. 63, pp. 823-828, 1997.
- [8] H. Yasar, B. Ekmekci, Ti-6Al-4V Surfaces in SiC Powder Mixed Electrical Discharge Machining, *Advanced Materials Research*, Vol. 865, pp. 226-230, 2014.
- [9] F. Hu, H. Zhang, W. Zhao, Z. Wang, D. Hu, Y. Yu, Surface Properties of 3000°C High Melting Point Material by Powder Mixed EDM, *Key Engineering Materials*, Vol. 375-376, pp. 143-147, 2008.
- [10] R.A. Prajapati, H. Patel, Experimental Investigation of Powder mix EDM using Silicon Dioxide as a Powder additive for Surface Roughness, *International Journal of Advance Engineering and Research Development*, Vol. 2, No. 1, pp. 28-34, 2025.
- [11] M.P. Jahan, M. Rahman, Y.S. Wong, Study on the nano-powder-mixed sinking and milling micro-EDM of WC-Co, *International Journal of advanced Manufacturing Technology*, Vol. 53, pp. 167-180, 2011.
- [12] M. Saboktakin, G. R. Razavi, M. Ostadmohamadi, A.R. Havaie, Optimization Electro Discharge Machining of Ti-6Al-4V Alloy With Silicon Carbide Powder Mixed, *Advanced Materials Research*, Vol. 566, pp. 466-469, 2012.
- [13] M.L. Jeswani, Effect Of The Addition Of Graphite Powder To Kerosene Used As The Dielectric Fluid In Electrical Discharge Machining, *Wear*, Vol. 70, pp. 133-139, 1981.
- [14] B. Ekmekci, Y. Ersoz, How Suspended Particles Affect Surface Morphology in Powder Mixed Electrical Discharge Machining (PMEDM), *Metallurgical And Materials Transactions B*, Vol. 43B, pp. 1138-1148, 2012.
- [15] J. Zhixin, Z. Jianhua, A. Xing, Study On A New Kind Of Combined Machining Technology Of Ultrasonic Machining And Electrical Discharge Machining, *International Journal of Machine Tools & Manufacture*, Vol. 37, No. 2, pp. 193-199, 1997.
- [16] Y.C. Lin, B.H. Yan, Y.S. Chang, Machining characteristics of titanium alloy (Ti-6Al-4V) using a combination process of EDM with USM, *Journal of Materials Processing Technology*, Vol. 70, pp. 104-171-177, 2000.